

# 中国科学技术大学

## 最优化算法报告



### Primal-dual 内点法求解凸优化问题

学生姓名： 陈泽豪

所在院系： 数学科学学院

学生学号： SA22001009

完成时间： 2023 年 6 月 29 日

## 摘要

本报告会从凸优化问题入手, 使用一种求解凸优化问题的标准方法: Primal-dual 内点算法。报告会先介绍算法的具体内容即算法流程介绍, 然后给出结果以及一些收敛性分析。

**关键词:** 凸优化, Primal-dual 内点算法

## 一、Primal-dual 算法介绍

### 1.1 对 KKT 条件的简要介绍描述

在介绍凸优化的内点算法之前先介绍一下如下的优化问题：

$$\begin{aligned} \min \quad & f_0(x) \\ \text{s.t.} \quad & f_i(x) \leq 0, \quad i = 1, \dots, m \\ & h_j(x) = 0 \quad j = 1, \dots, p. \end{aligned} \quad (1)$$

其中定义域为： $\mathcal{D} = \cap_{i=1}^m \text{dom}(f_i) \cap \cap_{j=1}^p \text{dom}(h_j)$  为非空的，它的最优解用  $v^*$  表示。类似求解 K-T 问题，定义一个关于这个不等式约束的最优化问题的 Lagrangian 函数：

$$L(x, \lambda, \gamma) = f_0(x) + \sum_{i=1}^m \lambda_i f_i(x) + \sum_{j=1}^p \gamma_j h_j(x) \quad (2)$$

其中  $\lambda_i$  就是对应于  $f_i(x) \leq 0$  的 Lagrange multiplier， $\gamma_j$  为对应与  $h_j(x)$  的 Lagrange multiplier。此时可以定义 Lagrange dual function 如下所示：

$$g(\lambda, \gamma) = \inf_{x \in \mathcal{D}} L(x, \lambda, \gamma) \quad (3)$$

易知又  $g(\lambda, \gamma) \leq f_0(x^*)$  成立。因此如何得到  $f_0(x^*)$  的最佳下界估计就是求解如下的优化问题：

$$\begin{aligned} \max \quad & g(\lambda, \gamma) \\ \text{s.t.} \quad & \lambda \geq 0 \end{aligned} \quad (4)$$

这个问题被称为 lagrange dual problem，一定为凸优化问题，设  $(\lambda^*, \gamma^*)$  为 dual optimal 的，并得到一个  $g^*$  为 optimal value。则有  $g^* \leq v^*$  成立。我们将  $v^* - g^*$  称为 optimal duality gap，如果此时有  $v^* = g^*$  成立，就称满足了强对偶条件。

Slater 条件：存在  $x \in \text{relint}\mathcal{D}$  满足：

$$f_i(x) < 0, \quad i = 1, 2, \dots, m, \quad Ax = b. \quad (5)$$

其中有  $\text{relint}\mathcal{D} = \{x \in \mathcal{D} | B(x, r) \cap \text{aff}\mathcal{D} \subset \mathcal{D} \text{ for some } r > 0\}$ 。即存在相对可行内点使不等式严格成立。如果原问题为凸优化问题，同时再加上 Slater 条件便有强对偶条件成立，在强对偶成立的情况下有如下的式子推导成立，设  $x^*$  为原问题 (1) 可行最优解， $(\lambda^*, \gamma^*)$  为 lagrange dual problem (4) 的可行最优解，有：

$$\begin{aligned} f_0(x^*) &= g(\lambda^*, \gamma^*) = \inf_{x \in \mathcal{D}} (f_0(x) + \sum_{i=1}^m \lambda_i^* f_i(x) + \sum_{j=1}^p \gamma_j^* h_j(x)) \\ &\leq f_0(x^*) + \sum_{i=1}^m \lambda_i^* f_i(x^*) + \sum_{j=1}^p \gamma_j^* h_j(x^*) \\ &\leq f(x^*). \end{aligned} \quad (6)$$

因此等号全部成立的条件就是  $\lambda_i^* f_i(x^*) = 0, i = 1, 2, \dots, m$ 。因此若有强对偶条件成立，原问题就变成了如下的 KKT 条件：

$$(KKT) = \begin{cases} f_i(x^*) \leq 0, \forall i \\ h_j(x^*) = 0, \forall j \\ \lambda_i^* \geq 0, \forall i \\ \lambda_i^* f_i(x^*) = 0, \forall i \\ \nabla f_0(x^*) + \sum_{i=1}^m \lambda_i^* \nabla f_i(x^*) + \sum_{j=1}^p v_j^* \nabla h_j(x^*) = 0. \end{cases} \quad (7)$$

## 1.2 Primal-dual 算法

下面就来求解如下所示的凸优化问题：

$$\begin{aligned} \min \quad & f_0(x) \\ \text{s.t.} \quad & f_i(x) \leq 0, i = 1, 2, \dots, m \\ & Ax = b \end{aligned} \quad (8)$$

采用 logarithmic barrier  $\phi(x) = -\sum_{i=1}^m \log(-f_i(x))$ 。其定义域即为  $\text{dom}\phi = \{x \in \mathbf{R}^n | f_i(x) < 0, i = 1, 2, \dots, m\}$ ，即可行域的一个内点。假设存在相对可行内点，即满足 Slater 条件。将上面的问题 (8) 变成如图所示的优化问题：

$$\begin{aligned} \min \quad & f_0(x) + \sum_{i=1}^m -(1/t)\log(-f_i(x)) \\ \text{s.t.} \quad & Ax = b \end{aligned} \quad (9)$$

将问题 (9) 的两侧乘以  $t$  就得到了如下的形式：

$$\begin{aligned} \min \quad & tf_0(x) + \phi(x) \\ \text{s.t.} \quad & Ax = b \end{aligned} \quad (10)$$

因此对  $t > 0$ ，定义  $x^*(t)$  为 (10) 的最优解，定义  $\{x^*(t) | t > 0\}$  为 central points。而我们可以通过此时求出的最优解对比原问题最优解之间的差距。问题 (10) 的 KT 条件推出了如下的等式：

$$\begin{aligned} 0 &= t\nabla f_0(x^*(t)) + \nabla \phi(x^*(t)) + A^T \gamma \\ &= t\nabla f_0(x^*(t)) + \sum_{i=1}^m \frac{1}{-f_i(x^*(t))} \nabla f_i(x^*(t)) + A^T \gamma \end{aligned} \quad (11)$$

因此与问题 (8) 的 KKT 条件相比，有  $\lambda_i^*(t) = 1/-tf_i(x^*(t))$ ， $\gamma^*(t) = \gamma/t$ 。即此时的  $x^*(t)$  极小化了 lagrange 函数  $L(x, \lambda^*, \gamma^*) = f_0(x) + \sum_{i=1}^m \lambda_i^* f_i(x) + (\gamma^*)^T (Ax - b)$ 。因此此时有：

$$\begin{aligned} g(\lambda^*(t), \gamma^*(t)) &= \min_x L(x, \lambda^*(t), \gamma^*(t)) \\ &= f_0(x^*(t)) + \sum_{i=1}^m \lambda_i^* f_i(x^*(t)) + (\gamma^*)^T (Ax^*(t) - b) \\ &= f_0(x^*) - m/t. \end{aligned} \quad (12)$$

因此有  $f_0(x^*(t)) - m/t \leq v^*$ ，且当  $t \rightarrow +\infty$  时有  $f_0(x^*(t)) \rightarrow v^*$ 。

于是在加了 barrier 之后的问题 (10) 的 KT 条件实际上就是修改了 KKT 条件的一个等式条件得到如下所示的 modified KKT 条件：

$$(KKT) = \begin{cases} f_i(x^*) \leq 0, \forall i \\ Ax^* = b \\ \lambda_i^* \geq 0, \forall i \\ \lambda_i^* f_i(x^*) = -1/t, \forall i \\ \nabla f_0(x^*) + \sum_{i=1}^m \lambda_i^* \nabla f_i(x^*) + \sum_{j=1}^p v_j^* \nabla h_j(x^*) = 0. \end{cases} \quad (13)$$

接下来就是利用 primal-dual search 方式进行方程组的求解。本质上就是利用了 Newton-Raphson 迭代。定义：

$$r_t(x, \lambda, \gamma) = \begin{pmatrix} \nabla f_0(x) + J(f(x))^T \lambda + A^T \gamma \\ -\text{diag}(\lambda) f(x) - (1/t) \mathbf{1} \\ Ax - b \end{pmatrix} \quad (14)$$

第一项为 dual residual，第二项为 centrality residual，第三项为 primal residual。因此 (13) 的条件等价于求解  $r_t(x, \lambda, \gamma) = 0$ 。根据 Newton-Raphson 迭代有： $J(r_t(y)) \delta_y = -r_t(y)$ 。即有：

$$\begin{pmatrix} \nabla^2 f_0(x) + \sum_{i=1}^m \lambda_i \nabla^2 f_i(x) & J(f(x))^T & A^T \\ -\text{diag}(\lambda) J(f(x)) & -\text{diag}(f(x)) & 0 \\ A & 0 & 0 \end{pmatrix} \begin{pmatrix} \delta_x \\ \delta_\lambda \\ \delta_\gamma \end{pmatrix} = \begin{pmatrix} r_{dual} \\ r_{central} \\ r_{primal} \end{pmatrix} \quad (15)$$

收敛终止条件使用 surrogate duality gap  $\hat{\eta}(x, \lambda) = -f(x)^T \lambda$ 。

在求解出了上面的  $\delta_y$  之后，最重要的就是迭代步的选取，一定要使得整体存在下降趋势同时又要落在可行域内，否则内点算法就会出现问題。因此：

1. 步长  $\alpha$  的选择需要使得  $\lambda + \alpha \delta_\lambda$  仍为正的，因此有  $\alpha^{max} = \sup\{\alpha \in [0, 1] | \lambda + \alpha \delta_\lambda \geq 0\} = \min\{1, \min_i \{-\lambda_i / \delta_{\lambda_i} | \delta_{\lambda_i} < 0\}\}$ 。
2. 坐 backtracking,  $\alpha = 0.99 \alpha^{max}$ ，然后不断乘以  $\beta \in (0, 1)$  直到  $f(x + \alpha \delta_x) < 0$ 。
3. 继续不断乘以  $\beta$  直到  $\|r_t(x + \alpha \delta_x, \lambda + \alpha \delta_\lambda, \gamma + \alpha \delta_\gamma)\|_2 \leq (1 - \tau \alpha) \|r_t(x, \lambda, \gamma)\|_2$ ，这里  $\tau \in [0.01, 0.1]$ 。

最终整个算法流程如下所示：

1. 给定  $x_0, \lambda_0, \gamma_0$ ，其中  $x_0$  满足  $f_i(x_0) < 0, \forall i; \lambda_0 > 0$ ，选取  $\theta > 1, \epsilon > 0$ 。
2. 确定初始的  $t = \theta(m/\hat{\eta})$ ，这里  $m$  为不等式约束个数。
3. 计算出 primal-dual search 的  $\delta_y$ 。
4. 进行迭代步系数  $\alpha$  的确认，并使得  $y = y + \alpha \delta_y$ 。
5. 如果满足  $\|r_{primal}\|_2 \leq \epsilon, \|r_{dual}\|_2 \leq \epsilon, \hat{\eta} < \epsilon$ ，则停止迭代，否则回到第二步。

## 二、代码处理

### 2.1 代码处理

计算 Jacobian 矩阵以及 Hessian 矩阵的过程与前一次作业的 SQP 中类似，在代码中使用 sympy 库的方式计算一个函数的符号梯度以及符号 Hessian 阵，并在需要使用时转化为数值形式：

---

```
# 获取雅克比矩阵
def jacob_i(self):
    self.jac_m = self.funcs.jacobian(self.vars)
    self.jac_state = True
    return self.jac_m

# 返回numerical jacob_i
def n_jacob_i(self, x):
    if not self.jac_m:
        self.jacob_i()
    return (sy.lambdify(self.vars, self.jac_m, 'numpy'))(x[0], x[1])

# 获取海塞矩阵
def hessian(self):
    self.His_m = sy.hessian(self.funcs, self.vars)
    self.hes_state = True
    return self.His_m

# 返回numerical hessian
def n_hessian(self, x):
    if not self.hes_state:
        self.hessian()
    return (sy.lambdify(self.vars, self.His_m, 'numpy'))(x[0], x[1])
```

---

除了 Jacobian 矩阵的计算以及 Hessian 矩阵的计算，这一次作业还需要手动实现 Newton 迭代法，并在考虑到保持始终为内点的情况下进行步长的选取，这一部分代码均在 MyConvexSolver.py 文件中进行了实现。对于初始点的选取，所选的例子都较为简单的可以选取合适的初始点，因此直接给了初始迭代点，如果无法轻易看出迭代点的话还需要实现寻找初值的代码。

Newton 迭代法的代码具体如下所示：

---

```
# Newton迭代法
def newton_iteration(self, x, _lambda, _gamma, t):
    n = self.n
    m = self.m
    p = self.p
    total_dim = n + m + p
    jac_total_res = np.zeros((total_dim, total_dim))

    jac_11 = self.n_hessian(self.test_func_hes, x)
    for i in range(m):
        jac_11 += _lambda[i] * self.n_hessian(self.cons_func_hes[i], x)

    jac_12 = self.ineq_cons_jac(x).T
    jac_13 = self.A.T
    jac_21 = -np.diag(_lambda) @ self.ineq_cons_jac(x)
    jac_22 = -np.diag(self.ineq_cons_val(x))
    jac_31 = self.A

    jac_total_res[:n, :n] = jac_11
    jac_total_res[:n, n:(n+m)] = jac_12
    jac_total_res[:n, (n+m):] = jac_13
    jac_total_res[n:(n+m), :n] = jac_21
    jac_total_res[n:(n+m), n:(n+m)] = jac_22
    jac_total_res[(n+m):, :n] = jac_31

    # 接下来只需求解方程组 jac_total_res @ delta_(x,lambda,gamma) = - total_res
    return np.linalg.solve(jac_total_res, -self.total_res(x, _lambda, _gamma, t))
```

---

### 三、实验结果展示

在上述准备工作都完成之后,代码主体部分就放在 MyConvexSolver.py 文件内的 primal\_dual\_convex\_algorithm 函数中, 实现如下所示:

---

```
# 完成 primal-dual 内点算法
def primal_dual_convex_algorithm(self, x0):
    n = 2
```

```
m = len(self.cons_with_bounds)
p = len(self.A)
xk = x0.copy()
_lambda = np.ones(m)
_gamma = np.ones(p)

# 记录中间迭代结果
self.myconvex_intermedium_result = []
self.myconvex_intermedium_result.append(xk.copy())

epoch = 200
for i in range(epoch):
    t = self.sita * m / self.surrogate_duality_gap(xk, _lambda)

    # 进行newton迭代求解
    delta_y = self.newton_iteration(xk, _lambda, _gamma, t).flatten()

    # 进行迭代步确定
    alpha = self.line_search(xk, _lambda, _gamma, t, delta_y)

    xk += alpha * delta_y[:n]
    _lambda += alpha * delta_y[n:m+n]
    _gamma += alpha * delta_y[m+n:]

    self.myconvex_intermedium_result.append(xk.copy())

    # 如果满足收敛条件, 则退出循环
    if (np.linalg.norm(self.dual_residual(xk, _lambda, _gamma)) < self.epi and
        np.linalg.norm(self.primal_residual(xk)) < self.epi and
        self.surrogate_duality_gap(xk, _lambda) < self.epi):
        break

    return xk, _lambda, _gamma
```

---

下面我们就三个测试样例来讨论算法的一些性质, 并挑选样例三进行一定的收敛性分析。



### 3.1 测试样例一

下面进行结果展示，首先对于如下的  $test\_1$  函数以及约束进行实验：

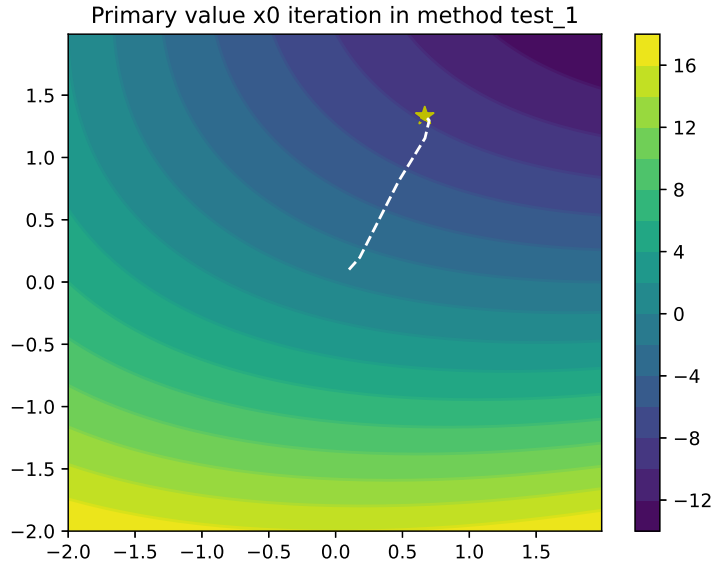
$$\begin{aligned}
 \min_{x_0, x_1} \quad & 0.5x_0^2 + x_1^2 - x_0x_1 - 2x_0 - 6x_1 \\
 \text{s.t.} \quad & x_0 + x_1 = 2 \\
 & 2x_1 - x_0 \leq 2 \\
 & 2x_0 + x_1 \leq 3 \\
 & 0 \leq x_0 \\
 & 0 \leq x_1
 \end{aligned} \tag{16}$$

设定 dual residual 与 primal residual 的终止误差  $\epsilon_{feas} = 10^{-5}$ ，设定 surrogate duality gap 的终止误差  $\epsilon = 10^{-5}$ ，设定计算参数  $t = \theta(m/\eta)$  时的  $\theta = 16.0$ ，做 backtracking 时的参数  $\beta = 0.9, \tau = 0.05$ 。取完全内点的初值为  $x_0 = [0.1, 0.1]$ ，最终在经历了 8 次迭代之后在精度范围内接近了精确值，精确值为  $[2/3, 4/3]$ ，内置 minimize 的数值结果为  $[0.66667, 1.33333]$ ，实现的 primal-dual 算法结果则如下所示：

迭代次数 k	0	3	6	8
x_k	[0.1, 0.1]	[0.66838867 1.15490626]	[0.66753598 1.33246315]	[0.66666684 1.33333316]

表 1:  $test\_1$  函数实验中内点法迭代后  $x_k$  变化表格

具体的可视化等高线图如下所示：



图上的星形表示 minimize 的结果，白线就是我的程序从  $[0.1, 0.1]$  出发接近最终结果的过程。算法具体的初值影响以及参数影响放在收敛性分析中讨论，这里先给出一个正确的结果。

### 3.2 测试样例二

下面又进行了第二个例子的实验：

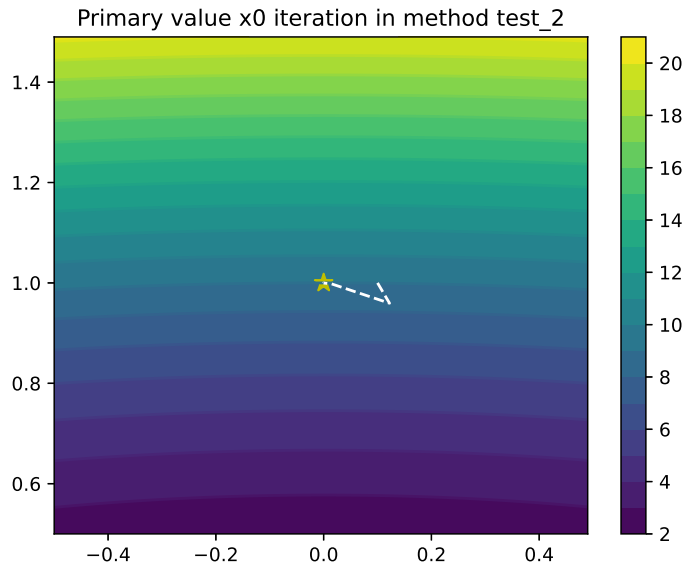
$$\begin{aligned}
 \min_{x_0, x_1} \quad & x_0^2 + 9x_1^2 \\
 & x_0 + x_1 = 1 \\
 & x_0 + 3x_1 \geq 3 \\
 & x_1 - x_0 \geq 0 \\
 & 0 \leq x_0 \\
 & 0 \leq x_1
 \end{aligned} \tag{17}$$

设定 dual residual 与 primal residual 的终止误差  $\epsilon_{feas} = 10^{-5}$ ，设定 surrogate duality gap 的终止误差  $\epsilon = 10^{-5}$ 。设定计算参数  $t = \theta(m/\eta)$  时的  $\theta = 16.0$ ，做 backtracking 时的参数  $\beta = 0.9, \tau = 0.05$ 。取完全内点的初值为  $x_0 = [0.1, 1.0]$ ，最终在经历了 7 次迭代之后在精度范围内接近了精确值，精确值为  $[0, 1]$ ，内置 minimize 的数值结果为  $[-1.47\text{e-}13, 1.0]$ ，实现的 primal-dual 算法结果则如下所示：

迭代次数 k	0	2	4	7
x_k	[0.1, 1.0]	[0.01460842 0.99811035]	[2.21422743e-06 1.0]	[3.36383320e-08 1.0]

表 2: test\_2 函数实验中内点法迭代后 x\_k 变化表格

具体的可视化等高线图如下所示：



图上的星形表示 minimize 的结果，白线就是我的程序从  $[0.1, 1.0]$  出发接近最终结果的过程。

### 3.3 测试样例三

下面又进行了第三个例子的实验：

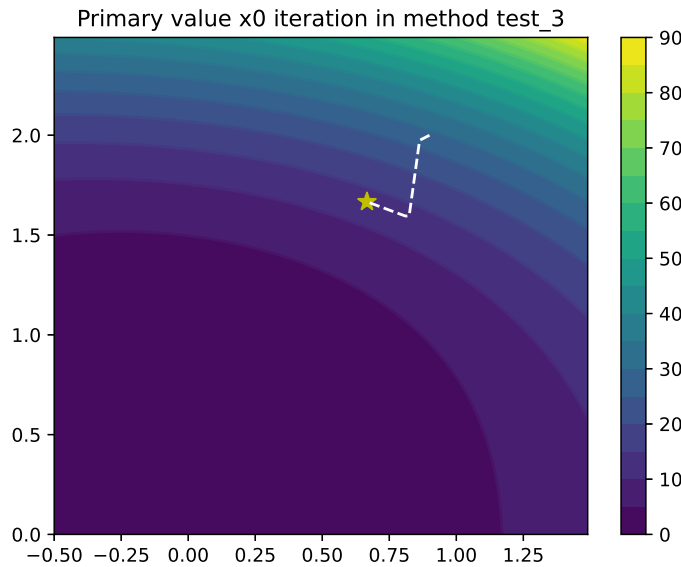
$$\begin{aligned} \min_{x_0, x_1} \quad & 3x_0^2 + x_1^4 + \exp(x_0 + x_1) - 2x_0 - 3x_1 \\ & 2x_0 + x_1 = 3 \\ & x_0^2 + x_1^2 \leq 5 \\ & x_0 + 2x_1 \geq 4 \end{aligned} \quad (18)$$

设定 dual residual 与 primal residual 的终止误差  $\epsilon_{feas} = 10^{-5}$ ，设定 surrogate duality gap 的终止误差  $\epsilon = 10^{-5}$ 。设定计算参数  $t = \theta(m/\eta)$  时的  $\theta = 16.0$ ，做 backtracking 时的参数  $\beta = 0.9, \tau = 0.05$ 。取完全内点的初值为  $x_0 = [0.9, 2.0]$ ，最终在经历了 8 次迭代之后在精度范围内接近了精确值，精确值为  $[2/3, 5/3]$ ，内置 minimize 的数值结果为  $[0.66666667 \ 1.66666667]$ ，实现的 primal-dual 算法结果则如下所示：

迭代次数 k	0	3	6	8
x_k	[0.9,2.0]	[0.81094787 1.59479304]	[0.66715369 1.66642765]	[0.66666667 1.66666667]

表 3: test\_3 函数实验中内点法迭代后 x\_k 变化表格

具体的可视化等高线图如下所示：

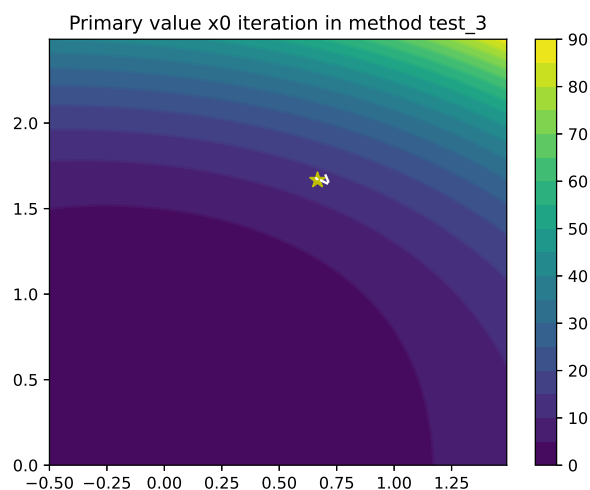


图上的星形表示 minimize 的结果，白线就是我的程序从  $[0.9, 2.0]$  出发接近最终结果的过程。

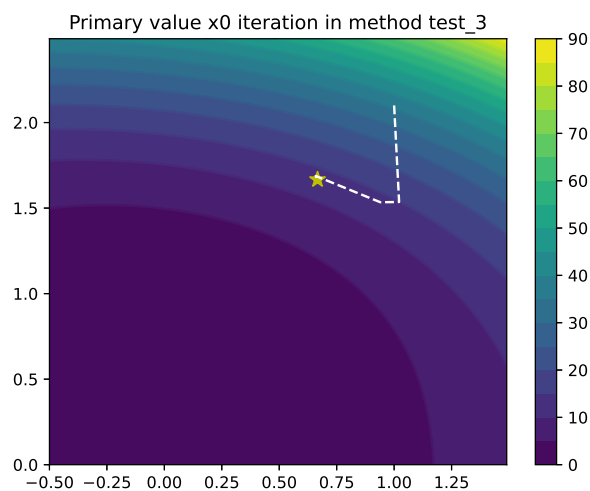
### 3.4 在测试样例三上进行算法收敛性分析

#### 3.4.1 初始点对迭代的影响

如果换一个距离最终精确点较近的迭代初始点例如  $x_0 = [0.7, 1.7]$  时，迭代到满足需要的误差处需要循环次数为 6 次，与上面的 8 次相差不多，但确实更快的收敛了，结果如下所示：



如果选超过可行域的初始迭代点，选取初始迭代点为  $x_0 = [1.0, 2.1]$ ，则最终得到结果如下：



也还是可以收敛到最终的点，因此实际上算法对于初始点是否在可行域内具有一定的忍耐性，但是如果离可行域较远就无法得到结果，例如选取初始点为  $x_0 = [-1.0, 2.5]$  的时候，算法无法收敛。

### 3.4.2 几个不同参数对迭代的影响

首先考虑我们在计算  $t = \theta(m/\eta)$  时的参数  $\theta$ ，具体变化对应收敛次数如下所示：

$\theta$	1.1	1.5	2.0	4.0	8.0	16.0	32.0
迭代次数	126	33	20	11	9	8	10

表 4: test\_3 函数实验中调整变量  $\theta$  后迭代次数变化

可以清楚的发现这个参数对于最终迭代次数影响很大，适当的取大可以极大的加速整个算法的收敛，但是取的太大又会导致迭代次数增加。之所以要取得比较大就是因为  $t$  只有在趋向于无穷大的时候才会接近初值，因此需要快速的接近更大的量。

其次再考虑做 line search 时取的  $\beta$  对迭代次数的影响，此时的  $\theta = 16.0$ ，初始迭代点为  $x_0 = [0.9, 2.0]$ ：

$\beta$	0.95	0.9	0.8	0.7
迭代次数	8	8	9	11

表 5: test\_3 函数实验中调整变量  $\beta$  后迭代次数变化

可以发现取 0.9 左右时最优，再往小取的话  $\alpha$  变化太快，反而使得迭代次数增加。

其次考虑做 line search 时  $\tau$  对迭代次数的影响，此时的  $\theta = 16.0$ ，初始迭代点为  $x_0 = [0.9, 2.0]$ ， $\beta = 0.9$ ：

$\tau$	0.01	0.05	0.08	1.0
迭代次数	8	8	8	无法收敛

表 6: test\_3 函数实验中调整变量  $\tau$  后迭代次数变化

因此对于  $\tau \in [0.01, 0.1]$ ，在小于 0.1 时对迭代次数几乎没有影响，而等于 0.1 时却导致了无法收敛。

## 四、实验总结

本次实验尝试编写了凸优化算法中的 primal-dual 内点算法，研究了不同参数对于迭代的影响，可以发现对于凸优化问题，使用 primal-dual 算法比 python 内置的 SQP 算法更快。同时对于 KKT 条件的求解方式有了更深一步的了解。